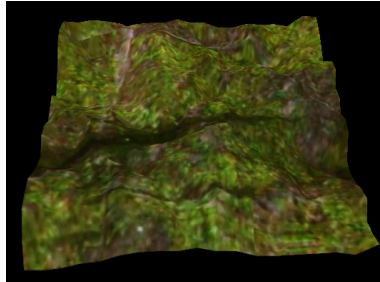


# Geração de Terrenos

Mayara Marques da Rosa \*

<sup>1</sup> Universidade Federal Rural do Rio de Janeiro, Departamento de Ciência da Computação, Brasil



## RESUMO

Este relatório tem o objetivo de evidenciar as etapas de desenvolvimento do trabalho proposto na disciplina de computação gráfica no período 2018-1. O trabalho em questão se trata da geração de terrenos utilizando OpenGL e bibliotecas relacionadas. Este relatório traz conceitos, abordagens e ferramentas utilizadas durante o trabalho bem como os resultados obtidos.

**Keywords:** Terrenos, malha poligonal.

## 1 INTRODUÇÃO

A geração de terrenos aparece em diversos contextos como jogos, filmes e sistemas de realidade virtual, motivada pelo desejo de simular de forma cada vez mais natural superfícies como relevos e montanhas[9]. Por meio de conceitos de matemática e de computação gráfica a tarefa de representar terrenos se torna possível.

## 2 FERRAMENTAS

Para o desenvolvimento deste trabalho foram utilizados:

- Linguagem C++
- OpenGL
- Glut
- Glu
- SOIL

## 3 REPRESENTAÇÃO DO TERRENO

Segundo [7], uma malha poligonal é uma coleção de vértices, arestas e faces semelhante a uma grade desestruturada que define a forma de um objeto tridimensional. Para a representação do terreno foi construída uma malha poligonal. Todos os vértices dessa malha foram dispostos em um espaçamento uniforme e conectados de maneira a formar triângulos.

\*e-mail: mmrosatab@hotmail.com

### 3.1 Triangle strips

Um triangle strip permite criar uma sequência de triângulos conectados. Após três vértices serem desenhados na tela e conectados por arestas, cada novo vértice inserido será conectado aos dois vértices anteriores [8].

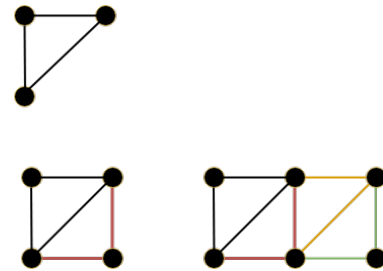


Figura 1: Exemplo ligação dos vértices

No OpenGL este conceito pode ser aplicado através da primitiva `GL_TRIANGLE_STRIP`.

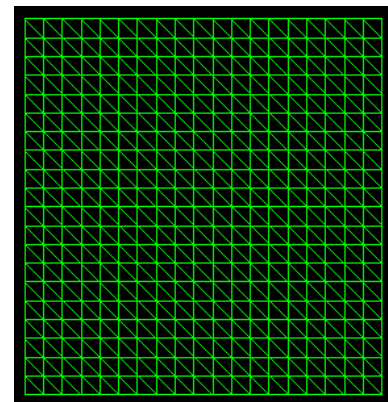


Figura 2: Malha triangular

## 4 OBSERVAÇÃO

Após a construção da malha poligonal, houve-se a necessidade de mudar a posição da câmera/observador. A função `GluLookAt` define

posição da câmera e direção em que a câmera está "observando" a cena.

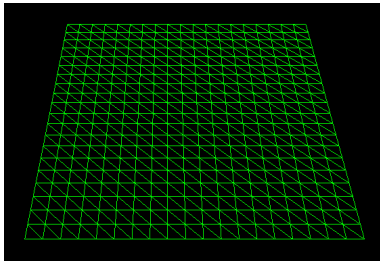


Figura 3: Malha triangular

## 5 Ruído

### 5.1 Ruído

O ruído diz respeito a padrões aleatórios que interferem a qualidade de sinais de áudio, vídeo e imagem[6]. Em computação gráfica o ruído é empregado em diversas aplicações para fins diferentes. Neste trabalho serão usadas duas formas de geração de ruído para definir os pontos de altura em Z na malha que representa o terreno.

#### 5.1.1 Pontos de altura em Z

Para dar um efeito de rugosidade a malha, de forma pseudo-aleatória números em um intervalo entre -10 e 10 foram gerados e atribuídos aos pontos em Z na malha.

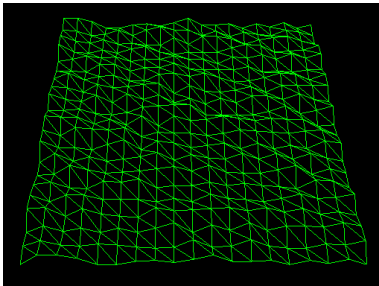


Figura 4: Pontos de altura em Z definidos entre -10 e 10

#### 5.1.2 Perlin Noise

Com o intuito de permitir que o terreno gerado por meio da malha poligonal tenha o efeito mais realista, foi empregado a técnica desenvolvida por Ken Perlin, o Perlin Noise. O Perlin noise possibilita a geração de números aleatórios suaves[1].

O Perlin Noise possui diversas aplicações tais como geração de terrenos, renderização de nuvens, texturas, animações e etc[4]. Foi originalmente construído nos anos 80 para o filme Tron com o objetivo de obter texturas contínuas para objetos tridimensionais[5]. Desde então vem sendo utilizada em diversas aplicações e servindo como referência para vários trabalhos.

Dado um ponto (x,y), Perlin noise retorna um valor Z. O valor retornado está entre 0 e 1. Na abordagem da etapa anterior os números para altura em Z eram gerados de forma aleatória entre o intervalo de -10 a 10 e não possuíam relação nenhuma uns com os outros. O algoritmo de Perlin faz com que cada ponto escolhido em torno de um ponto Z seja semelhante a ele[1].

#### 5.1.3 Passos para Perlin noise:

- Definição da grade
- Produto escalar entre gradiente e a distância de vetores

- Interpolação linear dos valores do produto escalar

#### 5.1.4 Demonstração:

- Obtendo ponto e vizinhança:

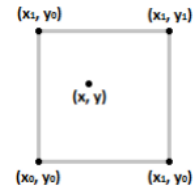


Figura 5: Obtendo ponto e vizinhança. [6]

- Obter vetor de distância entre ponto x,y e seus vizinhos na grade:

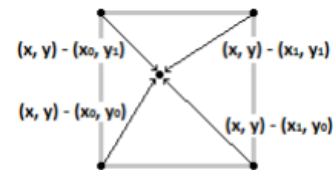


Figura 6: Cálculo do vetor de distância entre ponto x,y e seus vizinhos[6]

- Calcular o produto escalar entre o gradiente neste no ponto e o vetor de distância obtido:

$$\begin{aligned} v1 &= \text{gradiente}(x_0, y_0) \cdot ((x, y) - (x_0, y_0)) \\ v2 &= \text{gradiente}(x_1, y_0) \cdot ((x, y) - (x_1, y_0)) \\ v3 &= \text{gradiente}(x_0, y_1) \cdot ((x, y) - (x_0, y_1)) \\ v4 &= \text{gradiente}(x_1, y_1) \cdot ((x, y) - (x_1, y_1)) \end{aligned}$$

Figura 7: Produto escalar entre gradiente e vetor de distância[6]

## 6 TEXTURA

O uso de textura consiste em basicamente "aplicar" uma imagem sobre as faces de um objeto 3D[2]. O mapeamento da textura possui uma representação que varia de zero até um, tanto no eixo x quanto y. Desse modo para aplicar a imagem a malha foi feita uma correspondência entre os pontos da malha poligonal e a textura. Cada valor de ponto x,y,z da malha foi multiplicado por 0,001 para que os pontos da malha ficassem mapeados em um intervalo de 0 a 1.

O carregamento da imagem de textura foi feito através da biblioteca SOIL.

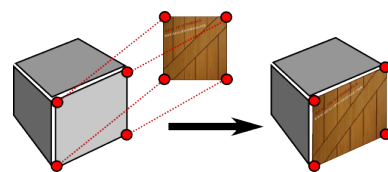


Figura 8: Conceito aplicação textura OpenGL[3].

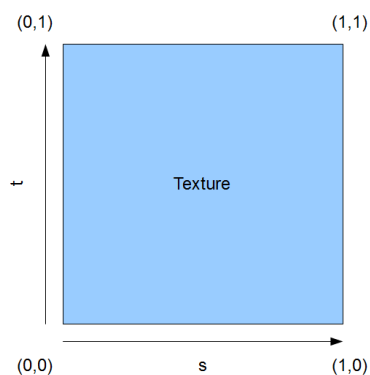


Figura 9: Coordenadas da textura[3].

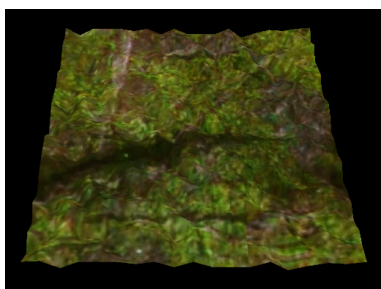


Figura 10: Aplicação de textura na malha.

## 7 RESULTADOS

Segue abaixo resultados obtidos:

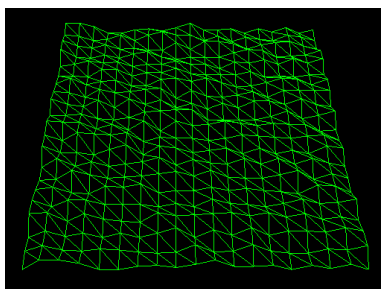


Figura 11: Antes da aplicação textura

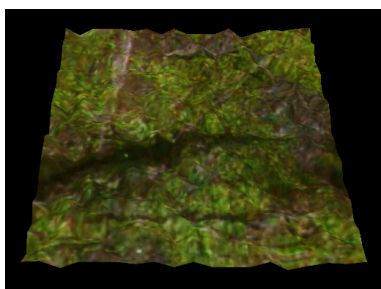


Figura 12: Depois aplicação textura

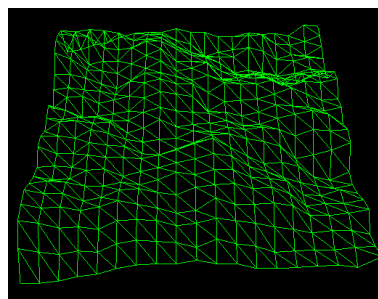


Figura 13: Perlin noise - Antes da aplicação textura

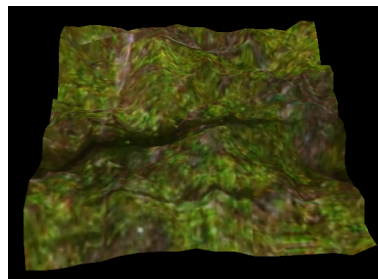


Figura 14: Perlin noise - Depois da aplicação textura

## REFERÊNCIAS

- [1] 3d terrain generation with perlin noise in processing. <https://www.youtube.com/watch?v=IKB1hWWedMk>. Accessed: 2011-07-01.
- [2] Mapeamento de texturas. <https://www.inf.pucrs.br/pinho/CG/Aulas/OpenGL/Texturas/MapTextures.html>. Accessed: 2011-07-11.
- [3] Mapeamento de texturas. <http://www.real3dtutorials.com/tut00005.php>. Accessed: 2011-07-11.
- [4] Perlin noise and its application. <https://hendhyhutomoere.wordpress.com/2013/11/14/perlin-noise-and-its-application/>. Accessed: 2011-07-01.
- [5] Tron. <https://mrl.nyu.edu/perlin/tron/>. Accessed: 2011-07-11.
- [6] G. T. da Cunha Coelho. Geração procedimental de ambientes para jogos eletrônicos, October 2002.
- [7] Z. L. Faxin Yu, Hao Luo and P. Wang. *Three-Dimensional Model Analysis and Processing*. Springer, first edition, 2010.
- [8] J. J. McConnell. *Computer Graphics: Theory Into Practice*. Manning, first edition, 2006.
- [9] R. L. Saundersh. Terrainsaurus - realistic terrain synthesis using genetic algorithms. 1(2):1–19, Dec. 2006.